

05.3;11

©1993

ИОННЫЙ АНАЛОГ ЭФФЕКТА ДЕМБЕРА В ГАЛОГЕНИДАХ СЕРЕБРА

В.Г.Кригер, А.В.Ханефт, А.Л.Картужанский

Равновесный поверхностный потенциал в ионных кристаллах φ_{s0} обусловлен разной энергией образования компонент пары собственных дефектов на поверхности. Создание неравновесных условий (например, скачка температуры) на поверхности кристалла приводит к возникновению дополнительного потенциала, возникающего за счет разной подвижности дефектов. По мере приближения к равновесию этот потенциал стремится к нулю. Данный эффект является ионным аналогом эффекта Дембера в полупроводниках, хотя отличается от него механизмом генерации носителей заряда. Ниже приводятся результаты расчета динамики ионного эффекта Дембера в галогенидах серебра и обсуждается возможность использования эффекта для определения параметров ионного переноса, а также для исследования фотоиндущированных процессов в галогенидосеребряных фотографических системах.

Кинетическая самосогласованная модель образования дефектов Френкеля на поверхности и в объеме ионного кристалла при скачкообразном изменении температуры образца сформулирована в [1]. Оценка характерных времен релаксации собственных дефектов с параметрами разупорядочения и переноса дефектов в AgBr [2] показывает, что скорость генерации и рекомбинации дефектов на поверхности намного выше, чем в объеме, и что наиболее медленными являются процессы релаксации и диффузии междоузельных катионов серебра (Ag_i^+) и катионных вакансий (V_k^-) в объеме твердого тела. Это позволяет упростить граничные условия для уравнений непрерывности на поверхности: перейти от граничных условий в виде потоков к граничным условиям первого рода.

Одномерная система уравнений непрерывности и Пуасона, описывающая кинетику образования дефектов в кристалле, имеет вид

$$\frac{\partial n_i}{\partial t} = -\frac{\partial j_i}{\partial x} + G - k_r n_1 n_2, \quad i = 1, 2 \quad (1)$$

$$\frac{dE}{dx} = e(n_1 - n_2)/\varepsilon\varepsilon_0, \quad (2)$$

$$j_{1,2} = -D_{1,2} \frac{\partial n_{1,2}}{\partial x} \pm \mu_{1,2} n_{1,2} E$$

с граничными условиями на поверхности при $x = 0$

$$n_1(0) = n \cdot \exp(e\varphi_{s0}/kT), \quad n_2(0) = n \cdot \exp(-e\varphi_{s0}/kT)$$

и в объеме при $x = L$

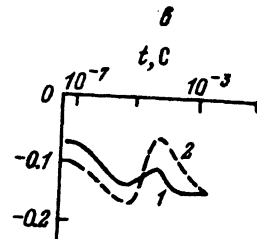
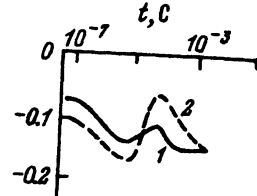
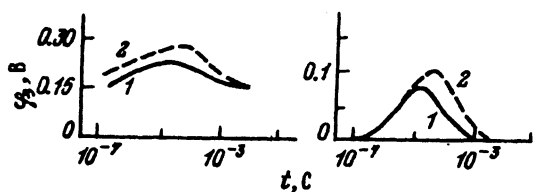
$$j_1(L) = j_2(L) = 0, \quad E(L) = 0.$$

Начальные условия для дефектов задавались равновесными при $T_0 = 300$ К. Температура образца T , при которой численно изучались кинетика релаксации дефектов и поверхностного потенциала φ_s , задавалась равной 400 К. Здесь приняты следующие обозначения: n_1, n_2 — концентрации точечных дефектов Ag_i^+ и V_k^- соответственно; G, k_r — скорость генерации и константа рекомбинации дефектов разного знака ($G = k_r N_1 N_2 \exp(-E_F/kT)$, где N_1, N_2 — концентрация свободных междуузлий и катионов в узлах решетки соответственно; E_F — энергия образования пары Френкеля); μ_i, D_i — подвижности и коэффициенты диффузии дефектов ($DC = \mu kT/e$); E — напряженность электрического поля; $n = (G/k_n)^{1/2}$ — равновесная концентрация дефектов в объеме кристалла при температуре T и $L > L_D$, где L_D — длина Дебая; e — элементарный заряд; ϵ — относительная диэлектрическая проницаемость AgBr ; ϵ_0 — электрическая постоянная; k — постоянная Больцмана.

Система уравнений (1) и (2) решалась численно с использованием алгоритма Шарфеттера—Гуммеля [3,4]. Кинетика изменения поверхностного потенциала $\varphi_s(t)$ определялась путем численного интегрирования уравнения

$$\varphi_s(t) = \varphi(L) - \int_L^0 E(t, x) dx$$

при $\varphi(L) = 0$. Для выяснения влияния “самоинжекции” дефектов с поверхности в объеме твердого тела уравнения непрерывности решались как при $G = 0$ и $k_r = 0$, т.е. с образованием дефектов только на поверхности кристалла, так и с учетом генерации и рекомбинации дефектов в объеме кристалла. Результаты расчета кинетики φ_s при $G = 0$ и $k_r = 0$ приведены на рисунке, а–в. Экстремальный характер зависимости поверхностного потенциала от времени связан с тем, что φ_s является суперпозицией потенциала, обусловленного разной энергией образования собственных дефектов на поверхности (φ_{s0}), и потенциала, возникающего из-за разной подвижности дефектов Ag_i^+ и V_k^- , который при

*a**b**c*

Зависимость поверхностного потенциала φ_s от времени t в AgBr при $e\varphi_{s0} = 0.15$ (а), $e\varphi_{s0} = 0$ (б), $e\varphi_{s0} = -0.15$ эВ (в).

Кривые 1 — расчет при $L = 5 \cdot 10^{-5}$ см, кривые 2 — расчет при $L = 10^{-4}$ см.

установлении равновесия между дефектами исчезает (рисунок, б). Таким образом, данный эффект является ионным аналогом эффекта Дембера в полупроводниках. Существенным отличием рассматриваемого эффекта от классического эффекта Дембара является то, что при скачкообразном уменьшении температуры ионная эдс Дембера меняет знак.

Выражение для φ_s в точке максимума ($t = t_m$) имеет вид

$$e\varphi_{sm} \approx e\varphi_{s0} + kT \cdot \ln(L/L_D).$$

Малый параметр L_D/L определяется отношением двух конкурирующих времен

$$L_D/L = (\tau_{M_1}/2\tau_{D_1})^{1/2},$$

где τ_{M_1} , τ_{D_1} — времена релаксации Максвелла и диффузии Ag_i^+ . Время $t_m \approx t_{D_i}$, а время для релаксации φ_s к своему равновесному значению φ_{s0} равно характерному времени амбиполярной диффузии дефектов τ_{D_a} , которое определяется коэффициентом диффузии наименее подвижных дефектов, т.е. в данном случае катионных вакансий. Следует отметить, что при образовании дефектов Френкеля только на поверхности кристалла для φ_{sm} будет наблюдаться размерный эффект. Таким образом, по характерным временам t_m и τ_{D_a} релаксации φ_s при наличии размерного эффекта можно оценить подвижности дефектов разного знака. При практическом измерении кинетики φ , необходимо, чтобы время прогрева образца было меньше времен релаксации и переноса дефектов. Это легко сделать выбором необходимого температурного интервала, так как подвижности дефектов экспоненциально зависят от температуры, а коэффициент теплопроводности имеет слабую температурную зависимость.

При образовании дефектов Френкеля на поверхности и в объеме ионного кристалла размерный эффект для φ_s отсутствует. Зависимость поверхностного потенциала от времени в этом случае имеет максимум при $t_m = \tau_{M_1}/2$

$$e\varphi_{sm} \simeq e\varphi_{s0} + 2kT \cdot \ln 2.$$

В этом случае по кинетике поверхностного потенциала можно оценить ионную проводимость кристалла.

Существование ионного эффекта Дембера в AgHal дает повод сразу вспомнить о широко известных опытах Хэмилтона и Бреди [5] на плоских фотоэмulsionионных микрокристаллах: наложением импульсного или медленно изменяющегося внешнего электрического поля в кристаллах создавали внутреннее поле, которое визуализировали распределением фотолитического серебра, формируемого дополнительным световым импульсом. Очевидно, рассматриваемый нами эффект может служить основой аналогичных экспериментов с варьируемой температурой и дать информацию о температурно-зависимых ионных параметрах реальных микрокристаллов (энергия активации, подвижность и концентрация дефектов).

Из развиваемой здесь картины ионного эффекта Дембера следует, что более ярко выраженным он должен быть в кристаллах с дефектностью по Шоттке например, ШТК. Опыты такого рода никогда не ставились, но на наш взгляд, заслуживают серьезного внимания

Список литературы

- [1] Ханефт А.В., Жогин И.Л., Кригер В.Г. // Поверхность. 1990. В. 6. С. 65.
- [2] Мейклэр П.В. Физические процессы при образовании скрытого фотографического изображения. М.: Наука, 1972. 400 с.
- [3] Scharfetter D.L., Gummel H.K // IEEE Trans. Electron Devices. 1968. V. ED-16. N 1. P. 64.
- [4] Черняев А.В. Деп. ВИНИТИ. № 1748-В87. 27 с.
- [5] Hamilton J.F., Brady L.E. // J. Appl. Phys. 1959. V. 30. N 12. P. 1893.

Кемеровский государственный
университет

Поступило в Редакцию
8 июля 1993 г.